

$$\frac{h}{s} = \frac{dm^3}{s} = 10^{-3} \frac{m^3}{s}$$

## 2. Hydro- und Aerostatik

### - Hydrostatische Grundgleichung

Volumenkraft aus Erdbeschleunigung:

$$dF_{Vx} = dm \cdot g_x = \rho g_x dV$$

Kräftegleichgewicht:

$$\sum F_x = 0 = p_1 dA_1 - p_2 dA_2 + dF_{Vx}$$

Eulersche Grundgleichung:

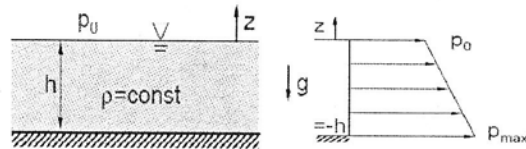
$$\boxed{\frac{\partial p}{\partial x} = \rho g_x} \quad \boxed{\frac{\partial p}{\partial y} = \rho g_y} \quad \boxed{\frac{\partial p}{\partial z} = \rho g_z}$$

$$\nabla p = \begin{pmatrix} \frac{\partial p}{\partial x} \\ \frac{\partial p}{\partial y} \\ \frac{\partial p}{\partial z} \end{pmatrix} = \rho \vec{g} \quad \text{Alternative Schreibweise}$$

### - Vertikale Druckverteilung

Druckverteilung

$$p = p_0 - \rho g z$$



Hydraulische Presse  $F_1 = p_1 A_1$   $p_1 = F_1 / A_1$   $p_1 = p_2 + \rho g h$

### - Druckkräfte auf senkrechte Behälterwände

Behälterboden  $F = (p_i - p_a) A$   $p_a = p_0$

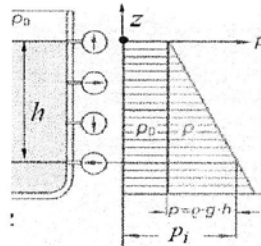
Senkrechte gerade

Behälterwand (Spezialfall)  $F = \int_A (p_i - p_a) dA$   $p_i = p_0 - \rho g z$  (!)

$$F = - \int_{z=0}^{z=-h} \rho g z B dz$$

$$z_S = -\frac{2}{3} h$$

Angriffspunkt liegt im Schwerpunkt der Druckverteilung

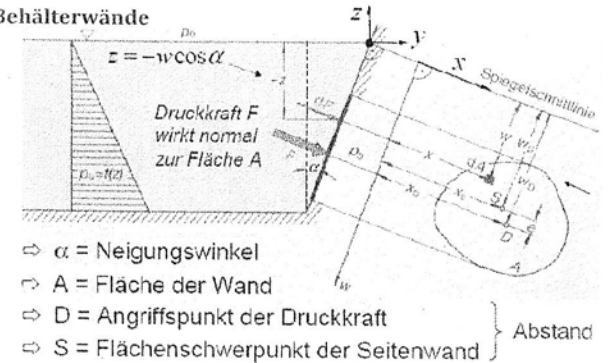


3

### - Druckkräfte auf geneigte Behälterwände

Schräge Behälterwände

$$e = w_D - w_S \quad (!)$$



Druckkraft:

$$F = \rho g \cdot \cos \alpha \cdot w_S \cdot A \quad (\text{mit Schwerpunkt der geneigten Fläche: } w_S)$$

$$F = -\rho g \cdot z_S \cdot A \quad (\text{mit Schwerpunkt der projizierten Fläche: } z_S)$$

Flächenschwerpunkt:

$$w_S = \frac{\int_A w dA}{A}$$

Vertikaler Angriffspunkt der Druckkraft in  $w$ -Richtung:

$$w_D = \frac{I_x}{w_S \cdot A}$$

Drehmoment um die  $x$ -Achse

Seitlicher Angriffspunkt der Druckkraft in  $x$ -Richtung:

$$x_D = \frac{I_{xw}}{w_S \cdot A}$$

Drehmoment um die  $w$ -Achse

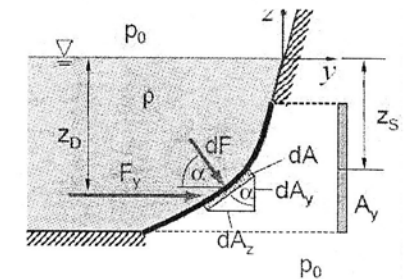
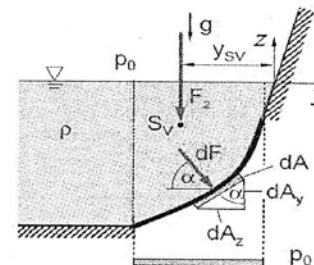
Das Deviationsmoment verschwindet bei symmetrischen Querschnitten, wenn die  $w$ -Achse im Schwerpunkt  $S$  liegt:  $I_{xw}=0$

$$\text{Satz von Steiner} \quad I_x = I_{x_S} + w_S^2 A \quad I_{xw} = I_{xw_S} + x_S w_S A$$

Druckkräfte auf gekrümmte Behälterwände

$$F_y = -\rho g \cdot z_S \cdot A_y$$

$A_y$  = projizierte Fläche  
 $z_S$  = SP-Koord. der projizierten Fläche  $A_y$



$F_z$  entspricht damit dem Flüssigkeitsgewicht über der Wand

$$F_z = -\rho g V$$

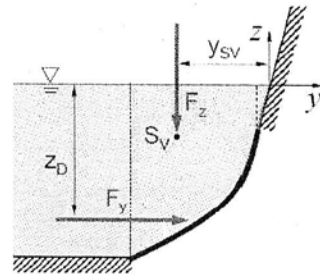
4

oder gleich so anwenden

$$z_D = \frac{I_S}{z_S \cdot A} + z_S$$

$$z_D = \frac{I_{y'}(A_{y'})}{z_S(A_{y'}) \cdot A_{y'}}$$

Horizontaler Angriffspunkt der Gewichtskraft  $F_z$  im Massen- bzw. Volumenschwerpunkt  $S_V$  Koord.  $y_{SV}$



## - Hydrostatischer Auftrieb

Aufdruckkraft:  $F_V$

- entspr. dem Gewicht einer fiktiven Wassersäule oder einen z.T. eingetauchten Körper  
=> Angriffspkt. im Volumen-SP Bsp.:

$$F_V = (p_i - p_a) A_D = \rho g \cdot \Delta h \cdot A_D = \rho g \cdot V = G$$

Auftriebskraft  $F_A$

(Nur bei vollständig eingetauchter Körper)  
=> entspr. Gewicht der verdrängten Flüssigkeit, greift im Volumenschwerpunkt  $S_{Vn}$

$$F_A = \rho g V$$

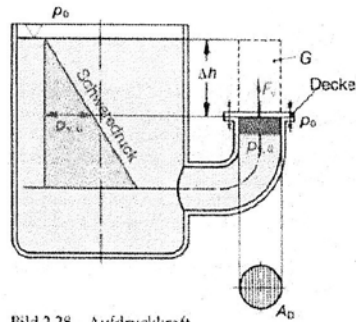
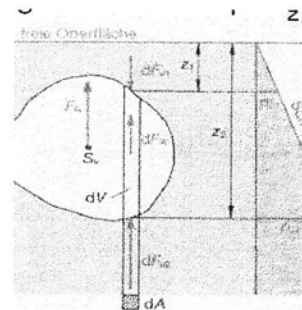


Bild 2.28 Aufdruckkraft



## - Hydrostatik bei gleichförmiger Beschleunigung

Modifizierte Eulersche Grundgleichung der Hydrostatik:

$$\rightarrow \frac{\partial p}{\partial x} = \rho a_{ges,x} \quad \frac{\partial p}{\partial y} = \rho a_{ges,y} \quad \frac{\partial p}{\partial z} = \rho a_{ges,z}$$

## - Hydrostatische Stabilität schwimmender Körper

Metazentrische Höhe:

$V$  = verdrängtes Flüssigkeitsvolumen

$I_0$  = Flächenträgheitsmoment der

Schwimmfläche bezogen auf die Drehachse 0

$e$  = Abstand zwischen  $S_K$  und  $S_V$

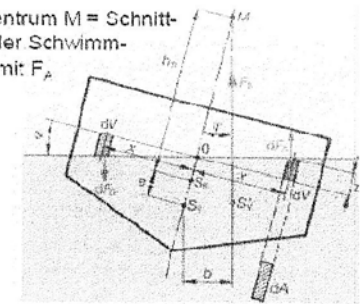
$h_M > 0$  für Formstabilität

Segelschiffe:  $h_M = 0,9 - 1,5 \text{ m}$

Frachtschiffe:  $h_M = 0,6 - 0,9 \text{ m}$

Metazentrum  $M$  = Schnittpunkt der Schwimmachse mit  $F_A$

$$h_M = \frac{I_0}{V} - e$$



## - Aerostatik

Eulersche Grundgleichung:

$$\frac{dp}{dz} = -\rho(z)g$$

$$\frac{p}{\rho} = RT$$

$$\rho(z), p(z), T(z)$$

$$pV = mRT$$

$R$  = spez. Gaskonst. Luft Näherungsweise ideales Gas

## Isotherme Schichtung

Barometrische Höhengleichung:

$T = \text{const.}$

$$\frac{\rho}{\rho_0} = e^{-\frac{g \cdot z}{RT}}$$

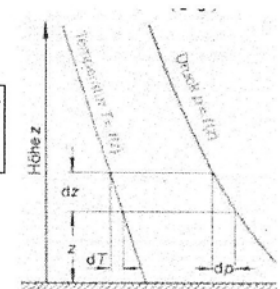
$$\frac{p}{p_0} = e^{-\frac{g \cdot z}{RT}}$$

## Isentrope Schichtung (keine Wärmeaustausch)

( $\kappa$  = Isentropenexponent, Luft:  $\kappa = 1,4$ )

$$\frac{p}{p_0} = \left( 1 - \frac{\rho_0 \kappa - 1}{\rho_0 \kappa} g z \right)^{\frac{\kappa}{\kappa - 1}} \quad \frac{\rho}{\rho_0} = \left( 1 - \frac{\rho_0 \kappa - 1}{\rho_0 \kappa} g z \right)^{\frac{1}{\kappa - 1}}$$

$$\frac{T}{T_0} = 1 - \frac{\rho_0 \kappa - 1}{\rho_0 \kappa} g z$$



ideale Gase:  $\frac{p}{\rho} = RT$  bzw.  $\rho = \frac{p}{RT}$

$$\rho = \lim_{\Delta V \rightarrow \Delta V_K} \left( \frac{\Delta m}{\Delta V} \right) =$$

$a$  = Schallgeschwindigkeit

$U$  = Strömungsgeschwindigkeit

Machzahl  $Ma$ : Verhältnis

$$Ma = \frac{U}{a} \begin{cases} Ma < 0,3: \\ Ma > 0,3: \\ Ma > 1: \end{cases} \quad 6$$

$$p_M = \dot{V} \cdot \rho_M$$

### 3. Kinematik der Fluide (Stromfadentheorie)

#### Massenerhaltung (Kontinuitätsgleichung)

Kinematik = Beschreibung von Bewegungen, ohne auf die Ursachen (Kräfte, Momente) einzugehen

Geschwindigkeit  $U$  ist ein Vektor (Richtung, Größe, Lage)

#### - Geschwindigkeit und Beschleunigung

Mittlere Geschwindigkeit:

$n$  = Normalenkomponente der Geschwindigkeit

$$\bar{U} = \frac{1}{A} \int_A U_n dA$$

Volumenstrom:

$$\dot{V} = \bar{U} A = \int_A U_n dA$$

#### - Stromröhre/Stromfaden

Massenstrom:

$$\dot{m} = \rho \bar{U}_n A = \rho \int_A U_n dA = \rho \dot{V}$$

#### - Massenerhaltung/Kontinuitätsgleichung

$$\frac{dm}{dt} = \dot{m} = \rho_1 A_1 U_1 = \rho_2 A_2 U_2 = \text{const}$$

$$\dot{V}_{\text{ein}} = \sum_{i=1}^N \dot{V}_{\text{ein},i} = \dot{V}_{\text{aus}} = \sum_{k=1}^M \dot{V}_{\text{aus},k}$$

$N$  = Anzahl der Einlässe

$M$  = Anzahl der Auslässe

Sind  $\rho$  und  $U$  über die Querschnitte  $A_i$  nicht konst.

$$\dot{m} = \int_A \rho_i U_i dA = \text{const}$$

Ist nur  $U$  über die Querschnitte nicht konst.

$$\dot{m} = \rho \int_A U_i dA = \rho \sum_i \bar{U}_i A_i = \rho \sum_i \dot{V}_i$$

### 4. Energieerhaltung (Bernoulli-Gleichung)

#### - Eulersche Bewegungsgleichung

$$\left[ \frac{\partial U}{\partial t} \right]_{r=\text{fix}} ds + \frac{1}{2} [dU^2] + \int g dz + \int \frac{dp}{\rho} = \int \frac{dF_R}{dm} ds$$

#### - Bernoulli-Gleichung

Schreibweise als spezifische Energie. Dimension: J/kg  
(die spezifische Energie bleibt erhalten:  $E_0 = \text{const}$ )

Schreibweise als Höhengleichung. Dimension: m  
(die hydraulische Höhe bleibt erhalten:  $H_0 = \text{const}$ )

Schreibweise als Druckgleichung. Dimension: Pa  
(das Druckniveau bleibt erhalten:  $P_0 = \text{const}$ )

$$\frac{1}{2} U^2 + gz + \frac{p}{\rho} = E_0$$

$$\frac{U^2}{2g} + z + \frac{p}{\rho g} = H_0$$

$$\frac{1}{2} \rho U^2 + \rho gz + p = P_0$$

$$\frac{U_1^2}{2g} + z_1 + \frac{p_1}{\rho g} = \frac{U_2^2}{2g} + z_2 + \frac{p_2}{\rho g} = H_0$$

Spezifische Druckarbeit  $p/\rho$

Spezifische potentielle Energie  $gz$

Spezifische kinetische Energie  $U^2/2$

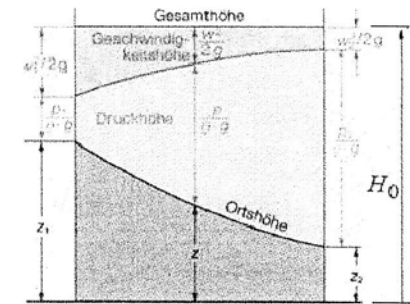
#### - Anwendungen der Bernoulli-Gleichung

##### Bernoulli-Gleichung

$$\frac{1}{2} U_1^2 + gz_1 + \frac{p_1}{\rho} = \frac{1}{2} U_2^2 + gz_2 + \frac{p_2}{\rho}$$

Bei offenen Behältern:  $p_1 = p_2$

$$U_2 = \sqrt{2gh}$$



← Torricelli

$$\text{Totaldruck} \quad p_t = p_\infty + \frac{1}{2} \rho U_\infty^2 = p_{\text{stat}} + p_{\text{dyn}}$$

$$\text{Statischer Druck} \quad p_{\text{stat}} = p_\infty = p_t - p_{\text{dyn}}$$

$$\text{Dynamischer Druck (Staudruck)} \quad p_{\text{dyn}} = \frac{1}{2} \rho U_\infty^2 = p_t - p_{\text{stat}}$$

$$\text{Strömungsgeschwindigkeit} \quad U = \sqrt{\frac{2}{\rho} p_{\text{dyn}}} = \sqrt{\frac{2}{\rho} (p_t - p_{\text{stat}})}$$

#### - Erweiterte Bernoulli-Gleichung

Druckerhöhung durch eine Pumpe ( $\Delta p_M > 0$ )

Druckabsenkung durch eine Turbine ( $\Delta p_M < 0$ )

$$\frac{1}{2} U_1^2 + gz_1 + \frac{p_1}{\rho} + \frac{\Delta p_M}{\rho} = \frac{1}{2} U_2^2 + gz_2 + \frac{p_2}{\rho} + \frac{\Delta p_V}{\rho}$$

Leistung einer

Strömungsmaschine:

$$P_M = \dot{m} \cdot w_{tM} = \rho \dot{V} \cdot w_{tM} = \rho \dot{V} \cdot \frac{\Delta p_M}{\rho} = \dot{V} \cdot \Delta p_M$$

Verlustleistung durch Reibung:

$$P_V = \dot{m} \cdot w_V = \rho \dot{V} \cdot w_V = \rho \dot{V} \cdot \frac{\Delta p_V}{\rho} = \dot{V} \cdot \Delta p_V$$

$W_M$  = entlang der Stromlinie geleistete oder entzogene Arbeit

$W_V$  = entlang der Stromlinie entstandene Verlustarbeit

$P_M$  = zu- oder abgeführte Leistung entlang der Stromlinie

$P_V$  = Verlustleistung entlang der Stromlinie

$$\Delta p_V = \lambda \frac{L}{D} \frac{\rho}{2} U^2$$

Wirkungsgrad einer Pumpe:

$$\eta = \frac{P_M}{P_W} = \frac{\dot{m} \cdot w_{tM}}{P_W} < 1$$

Wirkungsgrad einer Turbine:

$$\eta = \frac{P_W}{P_M} = \frac{P_W}{\dot{m} \cdot w_{tM}} < 1$$

$P_W$  = an der Welle aufgewendete oder genutzte Leistung

$$u = \frac{\dot{V}}{A} = \frac{\dot{V}}{\frac{\pi}{4} D^2}$$

$$\dot{m} = \rho \cdot u \cdot A = \rho \cdot u \cdot \pi \cdot R^2 = \dot{V} \rho$$

## 5. Impulserhaltung (Impulssatz)

### - Impulssatz

$$\int_A \rho \vec{U} (\vec{U} \cdot \vec{n}) dA = \sum \vec{F} = \vec{F}_G + \vec{F}_p + \vec{F}_R + \vec{F}_H = \int_{V(t)} \rho \vec{g} dV - \int_A p \vec{n} dA + \vec{F}_R + \vec{F}_H$$

Querschnitt A<sub>1</sub>: Geschw.  $\vec{U}_1 = (u_1, v_1)^T$ , Druck  $p_1$ , Normalenvektor  $\vec{n}_1$

Querschnitt A<sub>2</sub>: Geschw.  $\vec{U}_2 = (u_2, v_2)^T$ , Druck  $p_2$ , Normalenvektor  $\vec{n}_2$

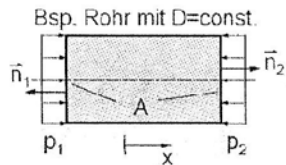
Die Differenz aus austretendem Impulsstrom  $\dot{m} \vec{U}_2$  und eintretendem Impulsstrom  $\dot{m} \vec{U}_1$  entspricht der Summe der am Kontrollraum wirkenden Strömungskräfte.

### - Strömungskräfte

#### Volumenkräfte (Gewichtskraft)

$$\vec{F}_G = \int_{V(t)} \rho \vec{g} dV = m \vec{g} \quad \text{wenn } \rho = \text{const und } V = \text{const}$$

#### Oberflächenkräfte (durch Druck o. Reibung)



$$\vec{F}_p = - \int_A p \vec{n} dA$$

Druckkräfte:  $p$ =Skalar aber  $F$ =Vektor

### - Wahl des Kontrollraums

Zur Anwendung des Impulssatzes sollte ein **Kontrollraum** problemgerecht definiert werden

Ziel: Kontrollraum so wählen, dass

Größen über Querschnitte nahezu konstant sind

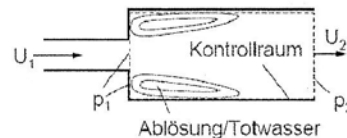
Kräfte gegenüberliegender Grenzen sich aufheben

Konst. Gr. kommen in Querschnitten vor, die v. geraden parallelen Stromlinien durchlaufen werden

#### Unstetige Erweiterungen/Totwassergebiete

Druck  $p_1$  unmittelbar hinter der Erweiterung ist nahezu konstant über den Querschnitt

Druck  $p_2$  und Geschw.  $U_2$  sind in einiger Entfernung vom Ablösegebiet nahezu konst. über den Querschnitt (Stromlinien wieder gerade)



Ablösung/Totwasser

#### Freistrahlen (freie Oberflächen, z.B. Wasserstrahl in Luft)

Im Bereich paralleler nicht gekrümmter Stromlinien herrscht im Freistrahlsquerschnitt der gleiche Druck wie außerhalb des Freistrahls.



Möglicher Kontrollraum

## 6. Reibungsbehaftete Strömungen

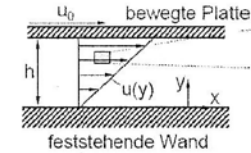
### - Scherströmungen (viskose Strömungen)

$$\text{Newtonsches Fluid} \quad \tau = \eta \cdot \dot{\gamma} = \eta d\gamma/dt$$

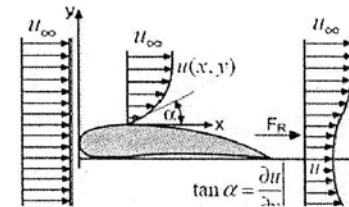
Dynamische Viskosität  $\eta$  ("eta"), Einheit  $[\eta] = \text{Pa} \cdot \text{s} = \text{Ns/m}^2 = \text{kg/ms}$

Kinematische Viskosität  $\nu = \eta/\rho$  ("nü"), Einheit  $[\nu] = \text{m}^2/\text{s}$

Scher(winkel)geschwindigkeit  $\dot{\gamma}$   $\tau = f(\dot{\gamma})$



$$\frac{d\gamma}{dt} = \dot{\gamma} = \frac{du}{dy}$$



Für Schubspannungen bzw. Reibkräfte sind Scherströmungen verantwortlich

$$F_R = \int \tau_w dA = \int \eta \frac{\partial u}{\partial y} \Big|_w dA$$

$\tau_w$  = Wandschubspannung

Newtonsche Fluide  
(Haftbedingung an Wand)

$$\vec{U}_w = \begin{pmatrix} u_w \\ v_w \\ w_w \end{pmatrix} = \begin{pmatrix} 0 \\ 0 \\ 0 \end{pmatrix}$$

### - Reynoldszahl

$$Re = \frac{\rho U L}{\eta} = \frac{U L}{\nu}$$

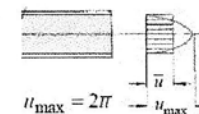
$\rho$  = Fluidichte  
 $\eta$  = Fluidviskosität (ggf.  $\nu$ )  
 $U$  = Charakteristische Strömungsgeschwindigkeit  
 $L$  = Charakteristisches Längenmaß

$Re < 1$ : Reibungsdominierte laminare Gesamtströmung (Schmiertheorie)

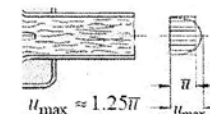
$Re > 1$ : Bereich des laminar-turbulenten Übergangs = Transition

$Re \gg 1$ : Reibung beschränkt sich auf turbulente Grenzschichtbereiche

Laminare Rohrströmung  
Zeitlich konstantes



Turbulente Rohrströmung  
zeitlich gemittelten Geschwindigkeitsprofilen



$\bar{U}$  = Mittlere Strömungsgeschwindigkeit ( $\dot{V}/A$ )  
 $D$  = Rohrdurchmesser

$$Re = \frac{\rho \bar{U} D}{\eta} = 2320 = \frac{U \cdot D}{\nu}$$

$$Re = \frac{u \cdot d}{\eta} \quad \eta = \nu \cdot \rho$$

$$Re = \frac{k}{D} < 65 \rightarrow \text{hydraulisch glatt}$$

Haftbedingung:

$$C = \frac{\Delta p}{4\eta L} R^2 \quad (\text{an der Wand } u(r=R)=0)$$

### -Reibungsdruckverlust der Rohrströmung

Bei  $r=0$  wird die Schubspannung  $\tau$  zu Null

Bei  $r=R$  an der Wand wird die Schubspannung maximal

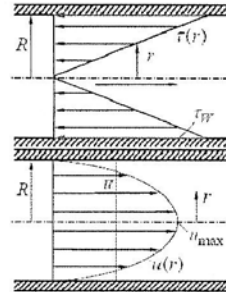
Schubspannungsverteilung

$$\tau(r) = -\frac{\Delta p}{2L} r$$

Parabolische

Geschwindigkeitsverteilung

$$u(r) = \frac{\Delta p}{4\eta L} (R^2 - r^2)$$

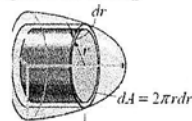


### - Gesetz von Hagen-Poiseuille

Volumenstrom aus Integration der Geschwindigkeitsverteilung

$$\dot{V} = \frac{\pi R^4}{8\eta L} \Delta p$$

$$\Delta p = \frac{8\eta L}{\pi R^4} \dot{V}$$



Druckverlust ist proportional zur Viskosität,

Rohrlänge und Volumenstrom und umgekehrt proportional zur 4. Potenz des Rohrradius

Mittlere Geschwindigkeit  $\bar{u} = \frac{\dot{V}}{A} = \frac{\pi R^2}{\pi R^2} \bar{u} \rightarrow \bar{u} = \frac{R^2}{8\eta L} \Delta p$

Vergleich mit Maximalgeschwindigkeit

$$\bar{u} = \frac{1}{2} u_{\max}$$

Druckverlust in Abhängigkeit der mittleren Geschwindigkeit

$$\Delta p = \frac{8\eta L}{R^2} \bar{u}$$

Druckverlust der laminaren Rohrströmung

$$\Delta p = \frac{64 L}{Re D} \frac{\rho}{2} \bar{u}^2$$

$$\Delta p = \lambda \frac{L}{D} \frac{\rho}{2} \bar{u}^2$$

Widerstandszahl/ Rohrreibungszahl

Widerstandsgesetz der laminaren Rohrströmung

$$\lambda = \frac{64}{Re}$$

Druckverlust der

turbulenten Rohrströmung

Ansatz von	Gleichung	Gültigkeit	Strömung	Rohr
Hagen-Poiseuille (1)	$\lambda = 64/Re$	$Re < 2320$	lam.	
Blasius (2)	$\lambda = 0,3164 Re^{-0,25}$	$2320 < Re < 10^5$ und $Re \cdot k/D < 65$	turb.	Glatt
Prandtl (3)	$\lambda = (\log(Re^2 \lambda) - 0,8)^{-2}$	$Re > 10^5$ und $Re \cdot k/D < 65$	turb.	Glatt
v. Kármán (5)	$\lambda = (2 \log(3,715 \cdot D/k))^{-2}$	$Re \cdot k/D > 1300$	turb.	Rau
Colebrook (4)	$\lambda = (-2 \log(\frac{2,51}{Re \sqrt{\lambda}} + 0,269 \cdot k/D))^{-2}$	$65 < Re \cdot k/D < 1300$	turb.	Rau

$Re_{krit} = 2320 < \text{Turbulent}$   
 $> \text{laminar}$

Nicht-kreisförmige Leitungsquerschnitte

Hydraulischer Durchmesser  $D_H$

⇒ Druckdifferenz des Originalrohrs soll auch am Ersatzrohr wirken

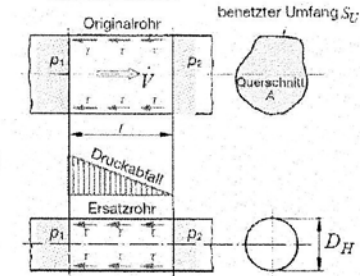
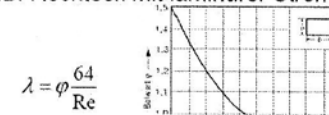
⇒ Originalrohr (Umfang  $S_U$ ): Druckkraft = Reibkraft:  $-(p_1 - p_2) A = \tau_H \cdot S_U \cdot L$

⇒ Aus Vergleich der Kräfte am Ersatzrohr  $D_H = 4A/S_U$

Reynoldszahl:  $Re = \rho \bar{u} D_H / \eta$

$$\Delta p = \lambda \frac{L}{D_H} \frac{\rho}{2} \bar{u}^2$$

Widerstandsgesetze sind von der Querschnittsform abhängig, z.B. Rechteck mit laminarer Strömung



### - Widerstandsgesetze und Verlustbeiwerte

$$\Delta p_V = \zeta \frac{\rho}{2} U^2$$

Allgemeiner Ansatz für einen Druckverlust

Dimensionsloser Verlustbeiwert  $\zeta$  ("zeta")

Achtung: Verlustbeiwert ist im allg. an einen Querschnitt i der Strömungsführung gebunden →  $U_i$  richtig einsetzen !!

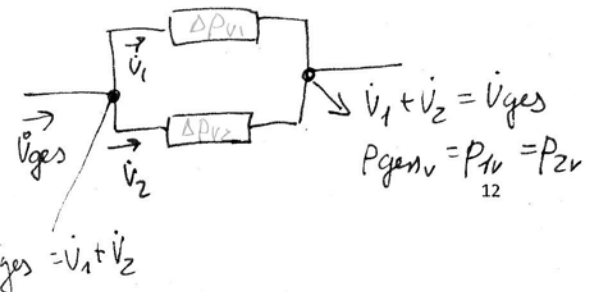
Bei mehreren Druckverlusten  $\Delta p_{V, ges} = \sum_i \zeta_i \frac{\rho}{2} U_i^2$

### - Berücksichtigung in der Bernoulli-Gleichung

$$\Delta p_V = \sum_j \lambda_j \frac{L_j}{D_j} \frac{\rho}{2} U_j^2 + \sum_i \zeta_i \frac{\rho}{2} U_i^2$$

Der Volumenstrom teilt sich nach Anzahl und Art der Druckverluste auf:

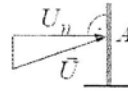
$$\Delta p_{V1} = \Delta p_{V2}$$



## 7. Strömungsmesstechnik

### - Volumetrische Messung

Volumenstrom  $\dot{V} = \bar{U} A = \int_A U_n dA$  (Einheit: m<sup>3</sup>/s oder m<sup>3</sup>/h)



Mittlere Geschwindigkeit im Querschnitt A  $\bar{U} = \frac{1}{A} \int_A U_n dA$

Massenstrom  $\dot{m} = dm/dt = \int_A \rho U_n dA$  (Einheit: kg/s)

Massenstrom zu Volumenstrom  $\dot{m} = \rho \int_A U_n dA = \rho \dot{V}$

Unmittelbare Messverfahren

Gesamter Volumenstrom wird fortlaufend in Teilvolumen zerlegt

Teilvolumen werden in Meßkammern gemessen und gezählt

Für die Messung tropfbarer Fluide gut geeignet

Mittelbare Messverfahren

Indirekte Ermittlung des Volumenstroms anhand einer anderen Größe, wie z.B. der Drehzahl

### - Wirkdruckverfahren

**Prinzip:** Messung des Druckverlusts bzw. des Wirkdrucks  $\Delta p$  über eine Drossel bzw. Querschnittsverengung  $A_0 \rightarrow A_1$

Ansatz für den Druckverlust  $\Delta p = \zeta \frac{\rho}{2} U_1^2$  bzw.  $U_1 = \frac{1}{\sqrt{\zeta}} \sqrt{2 \frac{\Delta p}{\rho}}$

Volumenstrom  $\dot{V} = U_1 A_1 = \frac{A_1}{\sqrt{\zeta}} \sqrt{2 \frac{\Delta p}{\rho}}$

weitere Einflussfaktoren:

a = Durchflußzahl

m = Flächenverhältnis  $A_1/A_0$

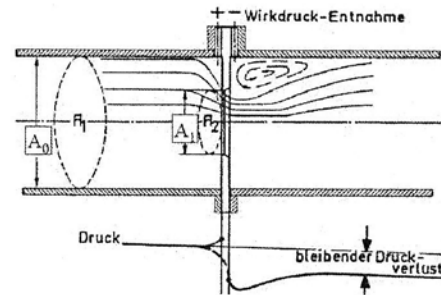
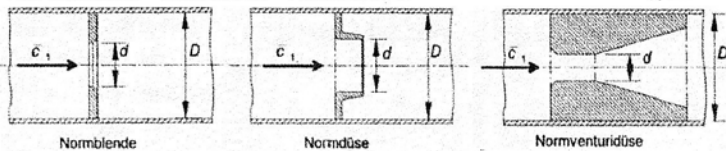
e = Beiwert für kompressible Strömungen

(e=1 bei r=const, e<1 wenn kompressibel)

$$\dot{V} = \alpha \epsilon m A_0 \sqrt{2 \frac{p_0 - p_1}{\rho}}$$

$\alpha = \alpha(m, Re)$ ,  $Re = \rho D U / \eta$

### - Normblende - Normdüse - Venturidüse



Nr.	Flächenform	Fläche A	Koordinate $h_s$	Trägheitsmoment $I_s$
1		$A = b \cdot h$	$h_s = \frac{h}{2}$	$I_s = \frac{b \cdot h^3}{12}$
2		$A = d^2 \cdot \frac{\pi}{4}$	$h_s = \frac{d}{2}$	$I_s = \frac{d^4 \cdot \pi}{64}$
3		$A = \frac{b+s}{2} h$	$h_s = \frac{h(b+2s)}{3(b+s)}$	$I_s = \frac{h^3(b^2 + 4bs + s^2)}{36(b+s)}$
4		$A = \frac{b \cdot h}{2}$	$h_s = \frac{1}{3} \cdot h$	$I_s = \frac{b \cdot h^3}{36}$
5		$A = \pi \cdot \frac{d^2}{8}$	$h_s = \frac{2 \cdot d}{3 \cdot \pi}$	$I_s = 0,0068 \cdot d^4$
6		$A = \pi \cdot a \cdot b$	$h_s = b$	$I_s = \frac{\pi}{4} \cdot a \cdot b^3$